

TYTUŁ OBLICZEŃ: 6+510_L4/87,87 _ Rzsf=86,32.

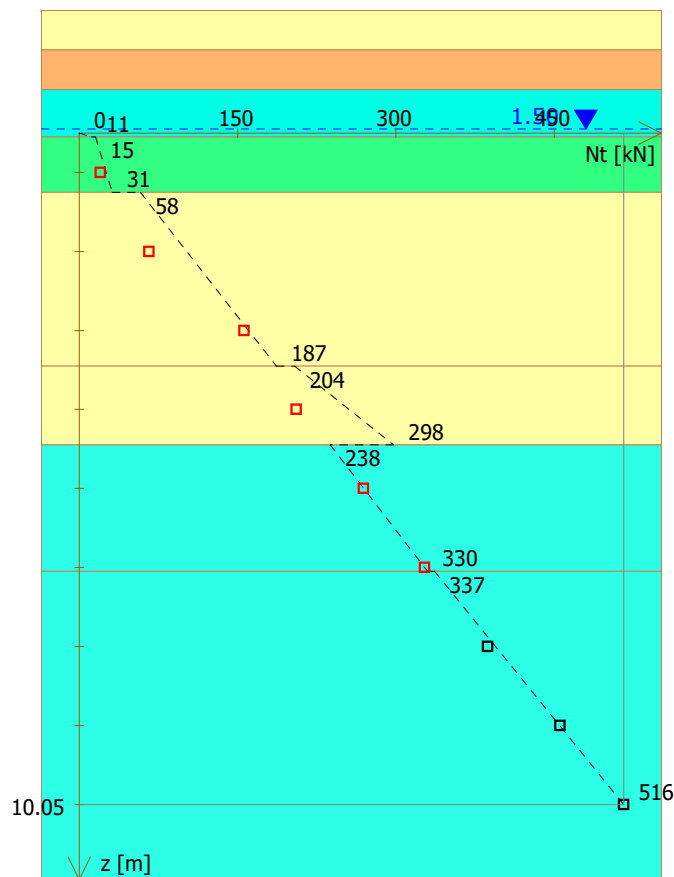
PRZEKRÓJ GEOTECHNICZNY



$$N_t = m \cdot (N_p + N_s) - T_n$$

$$N_w = m \cdot N_{sw}$$

PRZYROST NOŚNOŚCI NA WCISKANIE N_t



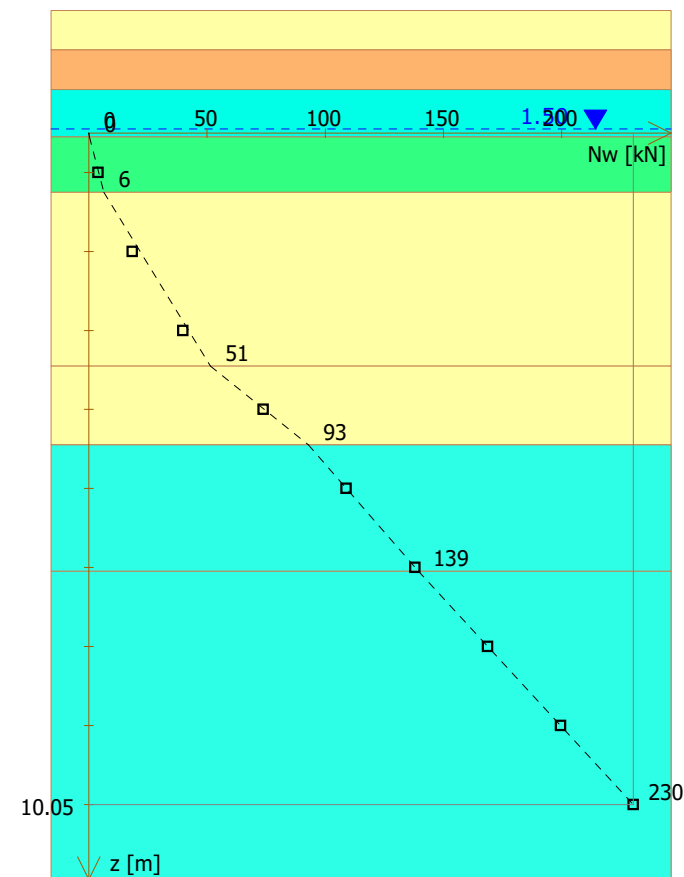
□ nośność rzeczywista pala - - - przyrost nośności pala

$L_c = 9$ m
 $N_p = 165$ kN

$N_t = 516$ kN
 $N_s = 408$ kN

$T_n = 0$ kN

PRZYROST NOŚNOŚCI NA WYCIĄGANIE N_w



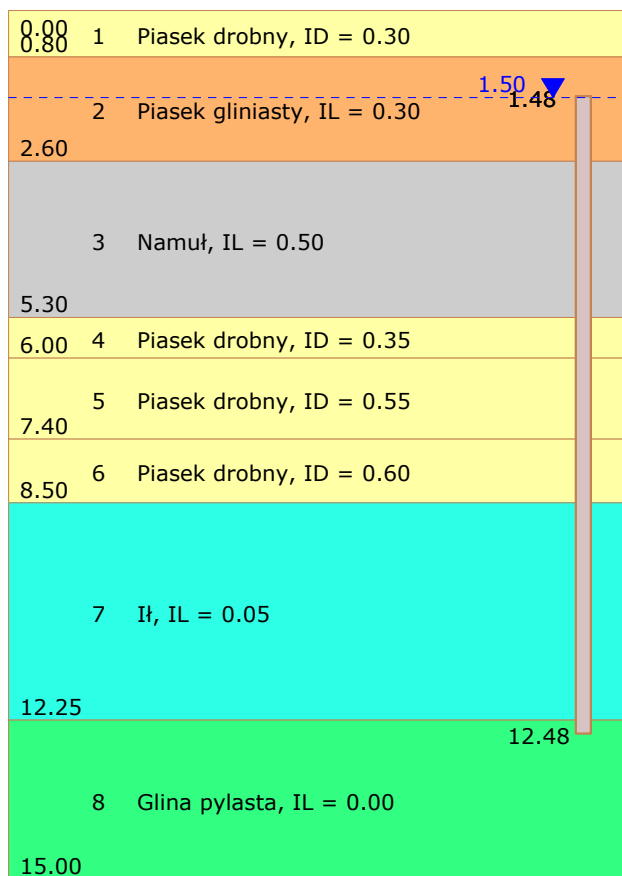
□ nośność rzeczywista pala - - - przyrost nośności pala

$L_c = 9$ m

$N_w = 230$ kN

TYTUŁ OBLICZEŃ: 6+510_P4/87,80 _ Rzsf=86,32.

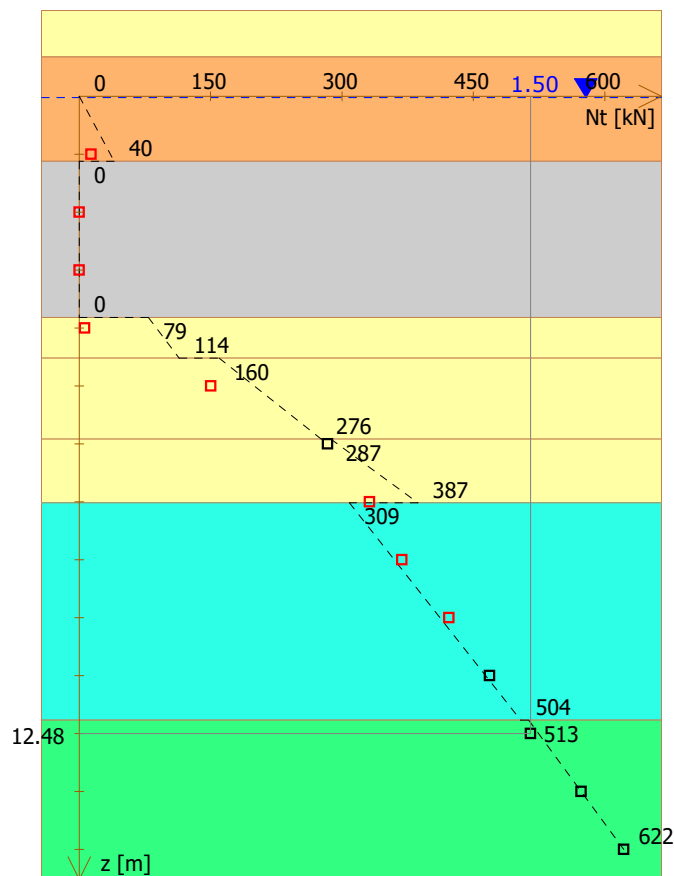
PRZEKRÓJ GEOTECHNICZNY



$$N_t = m \cdot (N_p + N_s) - T_n$$

$$N_w = m \cdot N_{sw}$$

PRZYROST NOŚNOŚCI NA WCISKANIE N_t



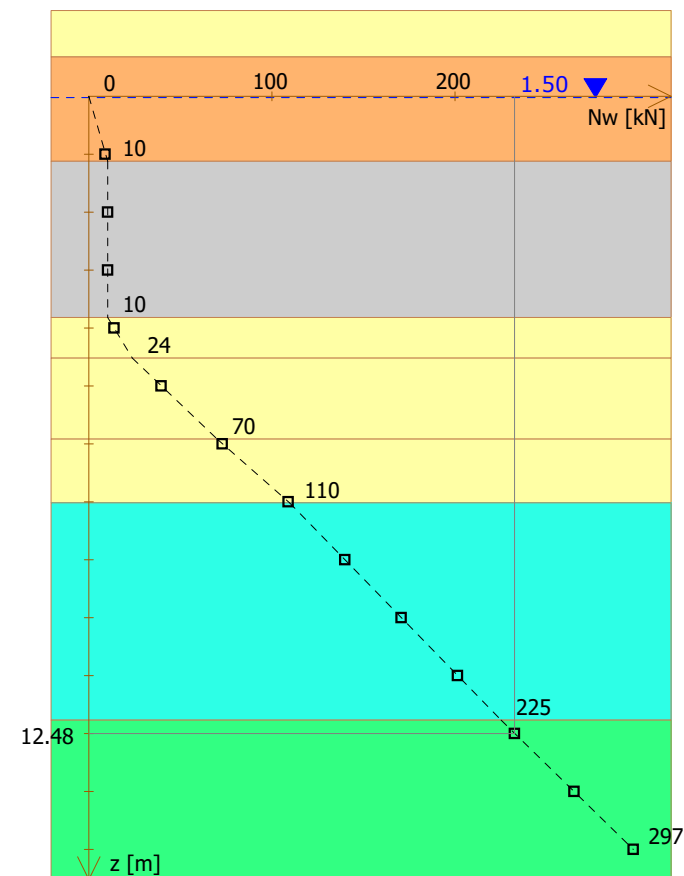
□ nośność rzeczywista pala - - - przyrost nośności pala

$L_c = 11$ m
 $N_p = 165$ kN

$N_t = 515$ kN
 $N_s = 407$ kN

$T_n = 0$ kN

PRZYROST NOŚNOŚCI NA WYCIĄGANIE N_w



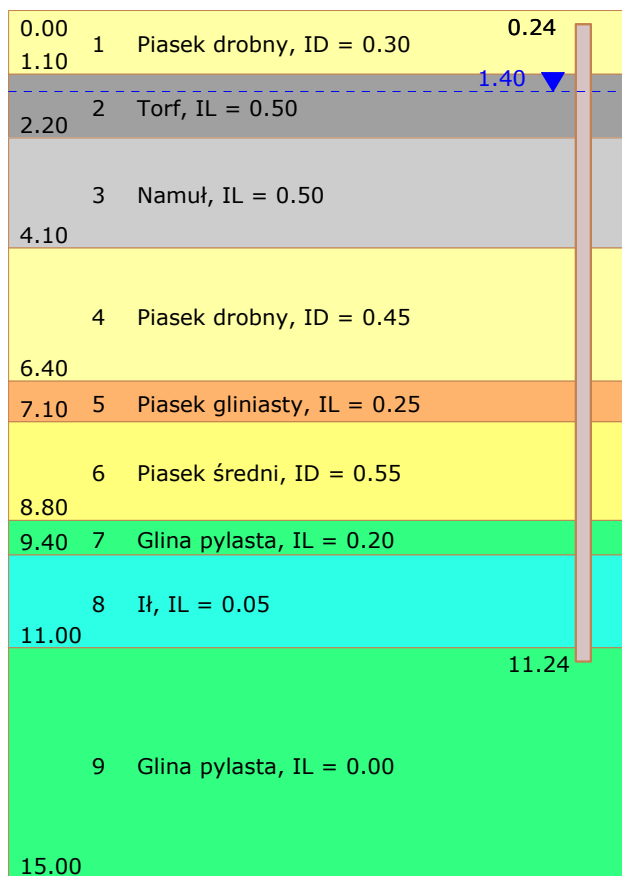
□ nośność rzeczywista pala - - - przyrost nośności pala

$L_c = 11$ m

$N_w = 233$ kN

TYTUŁ OBLICZEŃ: 6+510_P10/86,56 _ Rzsf=86,32.

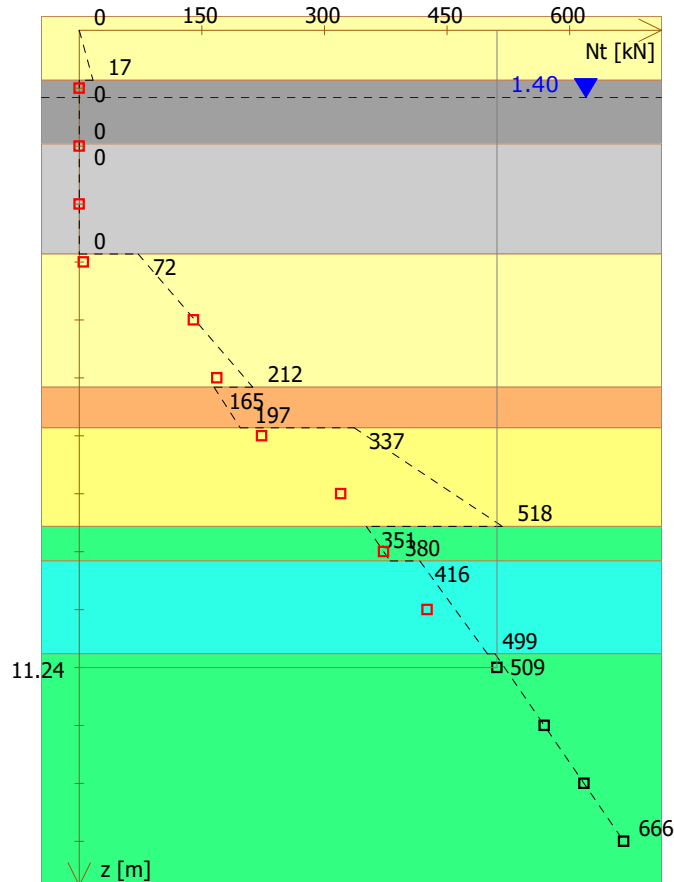
PRZEKRÓJ GEOTECHNICZNY



$$N_t = m \cdot (N_p + N_s) - T_n$$

$$N_w = m \cdot N_{sw}$$

PRZYROST NOŚNOŚCI NA WCISKANIE N_t



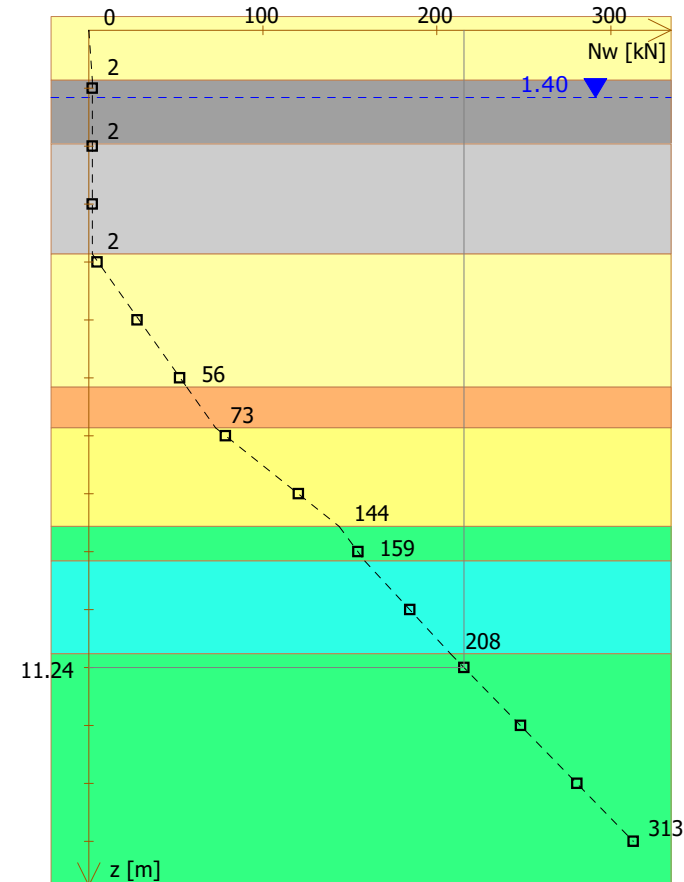
□ nośność rzeczywista pala --- przyrost nośności pala

$L_c = 11$ m
 $N_p = 165$ kN

$N_t = 511$ kN
 $N_s = 403$ kN

$T_n = 0$ kN

PRZYROST NOŚNOŚCI NA WYCIĄGANIE N_w



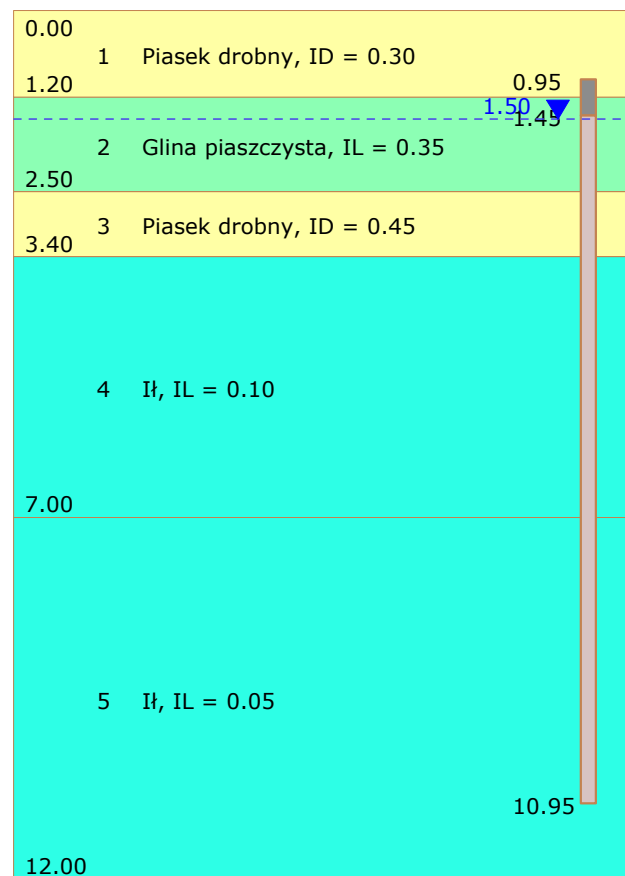
□ nośność rzeczywista pala --- przyrost nośności pala

$L_c = 11$ m

$N_w = 216$ kN

TYTUŁ OBLICZEŃ: 6+535_L4/87,77 _ Rzsf=86,32.

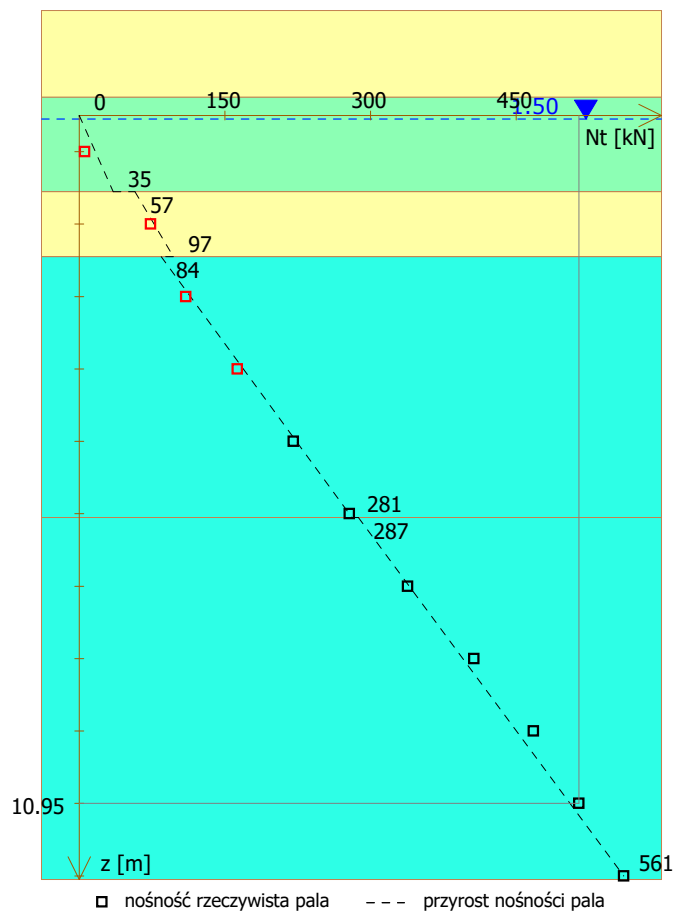
PRZEKRÓJ GEOTECHNICZNY



$$N_t = m \cdot (N_p + N_s) - T_n$$

$$N_w = m \cdot N_{sw}$$

PRZYRÓST NOŚNOŚCI NA WCISKANIE N_t

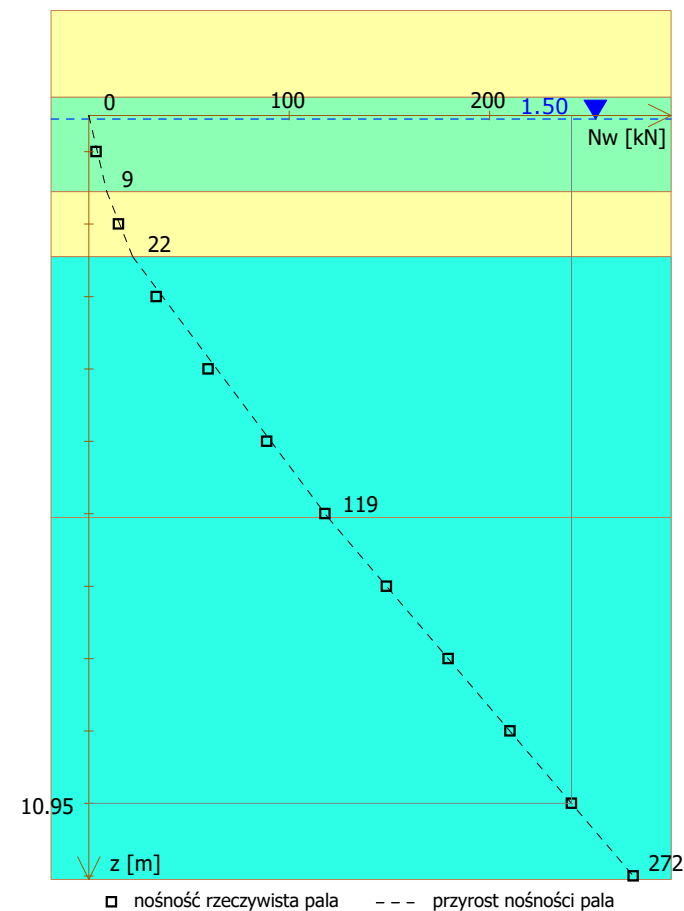


$L_c = 10$ m
 $N_p = 165$ kN

$N_t = 514$ kN
 $N_s = 406$ kN

$T_n = 0$ kN

PRZYRÓST NOŚNOŚCI NA WYCIĄGANIE N_w



$L_c = 10$ m

$N_w = 241$ kN

TYTUŁ OBLICZEŃ: 6+535_P4/87,76 _ Rzsf=86,32.

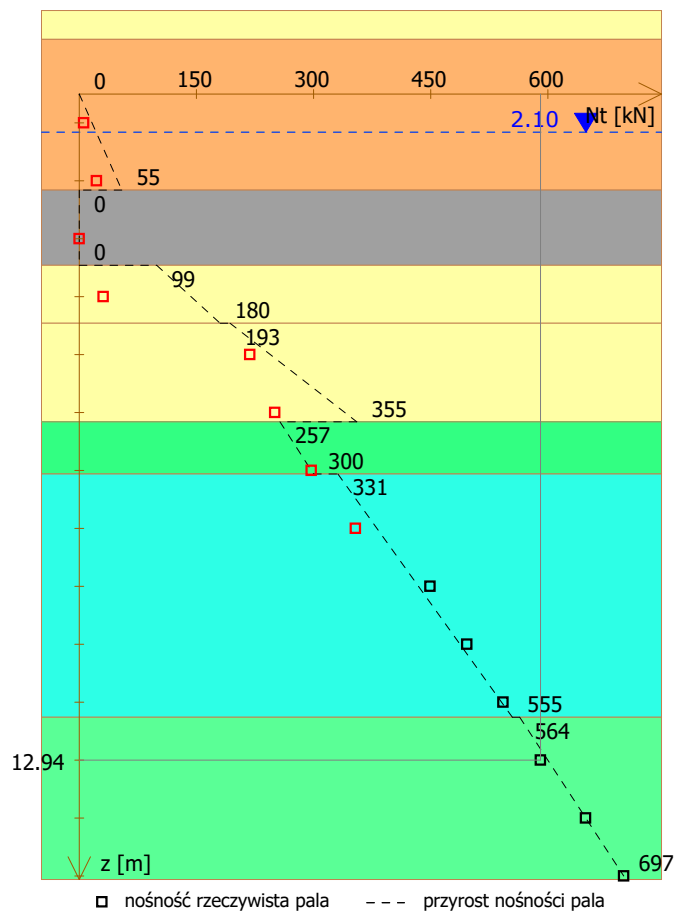
PRZEKRÓJ GEOTECHNICZNY



$$N_t = m \cdot (N_p + N_s) - T_n$$

$$N_w = m \cdot N_{sw}$$

PRZYROST NOŚNOŚCI NA WCISKANIE N_t



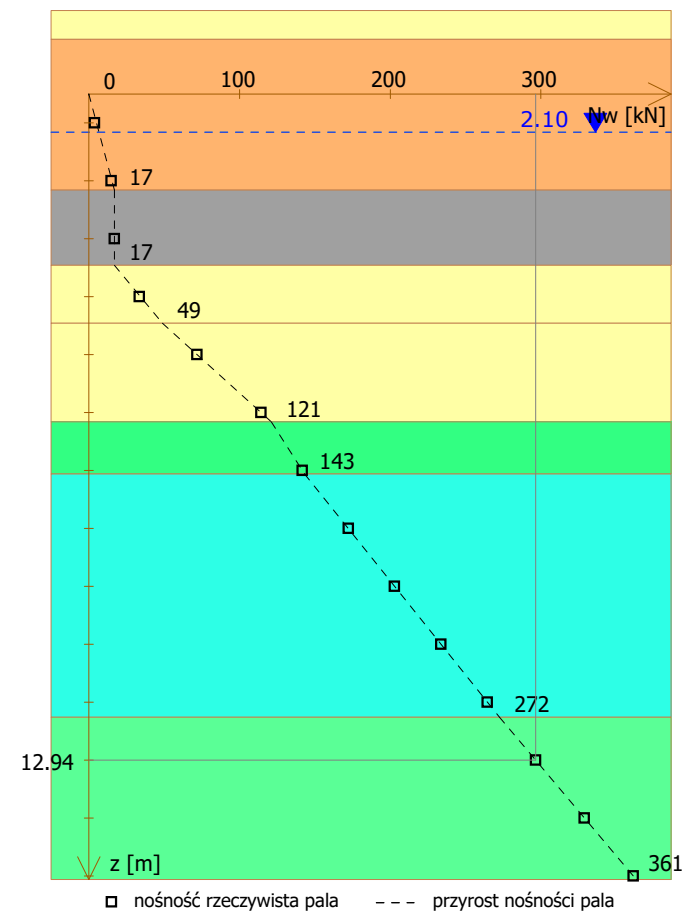
□ nośność rzeczywista pala --- przyrost nośności pala

$L_c = 12$ m
 $N_p = 165$ kN

$N_t = 591$ kN
 $N_s = 491$ kN

$T_n = 0$ kN

PRZYROST NOŚNOŚCI NA WYCIĄGANIE N_w



□ nośność rzeczywista pala --- przyrost nośności pala

$L_c = 12$ m

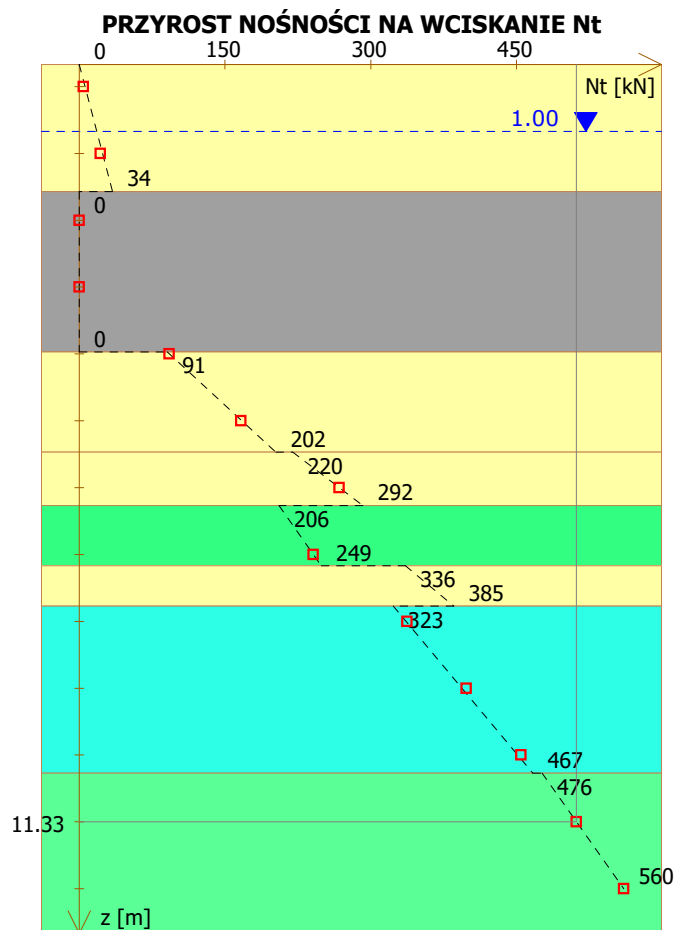
$N_w = 296$ kN

TYTUŁ OBLICZEŃ: 6+535_P13/86,15 _ Rzsf=86,32.



$$N_t = m \cdot (N_p + N_s) - T_n$$

$$N_w = m \cdot N_{sw}$$

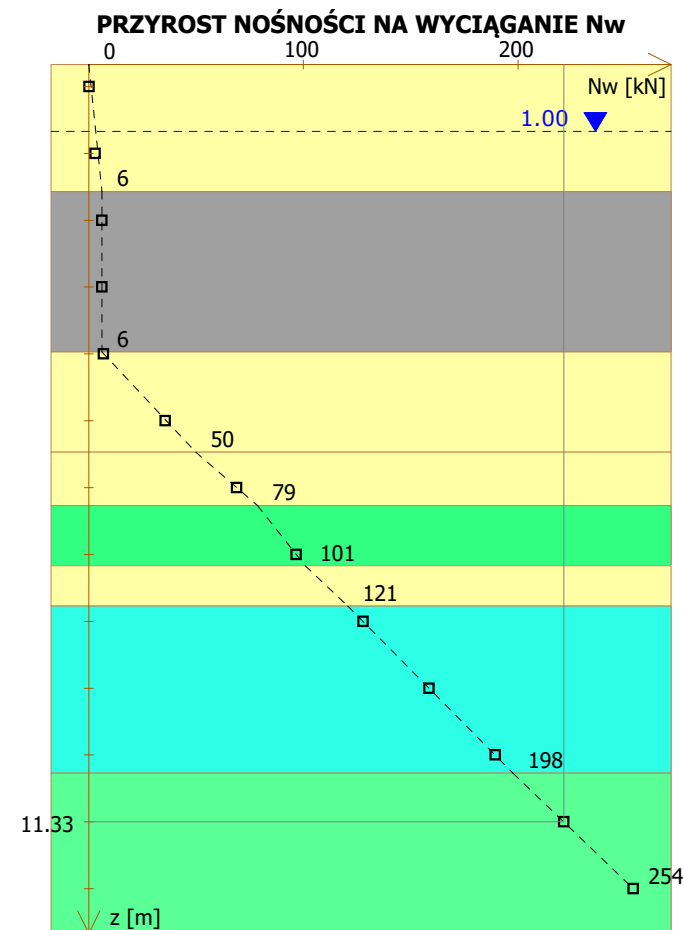


□ nośność rzeczywista pała - - - przyrost nośności pała

$L_c = 12 \text{ m}$
 $N_p = 176 \text{ kN}$

$N_t = 512 \text{ kN}$
 $N_s = 393 \text{ kN}$

$T_n = 0 \text{ kN}$



□ nośność rzeczywista pała - - - przyrost nośności pała

$L_c = 12 \text{ m}$

$N_w = 221 \text{ kN}$

TYTUŁ OBLICZEŃ: 6+535_P4/87,76 _ Rzsf=84,70.

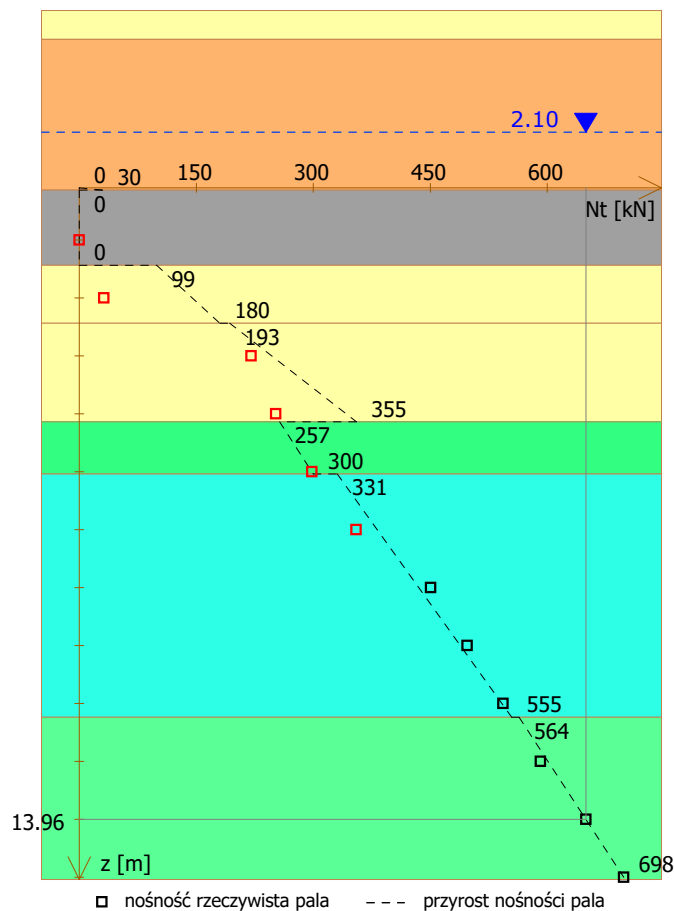
PRZEKRÓJ GEOTECHNICZNY



$$N_t = m \cdot (N_p + N_s) - T_n$$

$$N_w = m \cdot N_{sw}$$

PRZYROST NOŚNOŚCI NA WCISKANIE N_t



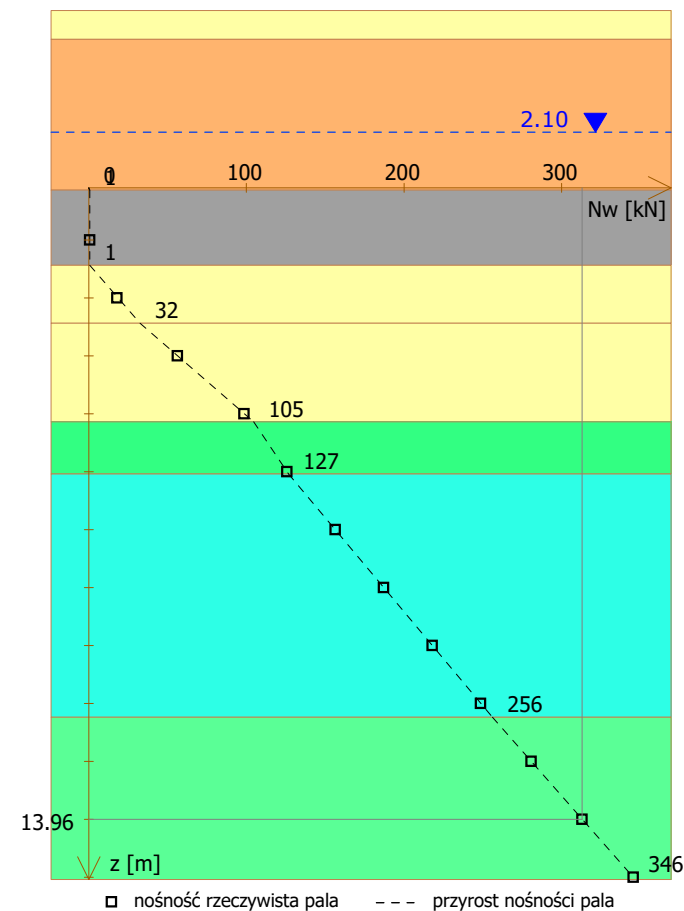
□ nośność rzeczywista pala - - - przyrost nośności pala

$L_c = 12$ m
 $N_p = 176$ kN

$N_t = 649$ kN
 $N_s = 546$ kN

$T_n = 0$ kN

PRZYROST NOŚNOŚCI NA WYCIĄGANIE N_w



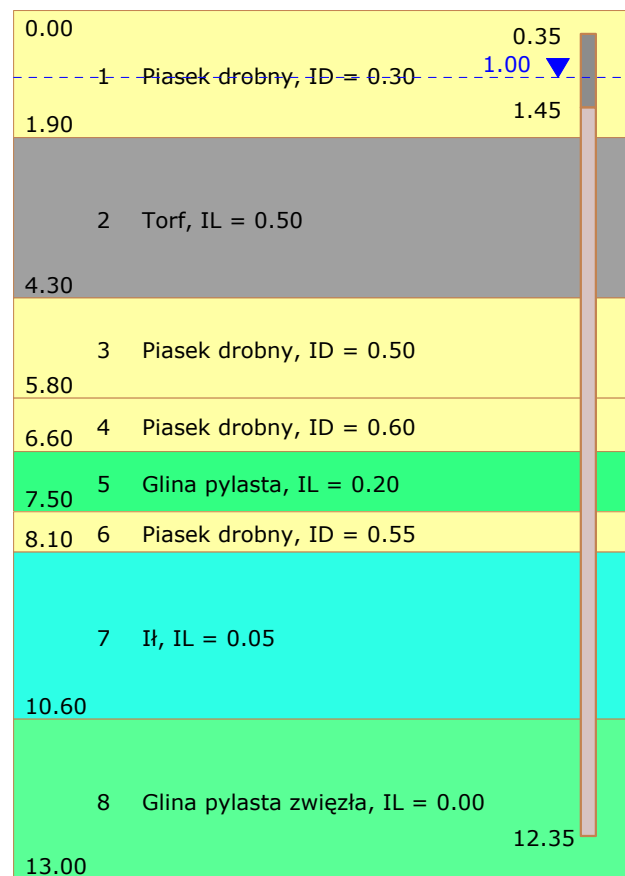
□ nośność rzeczywista pala - - - przyrost nośności pala

$L_c = 12$ m

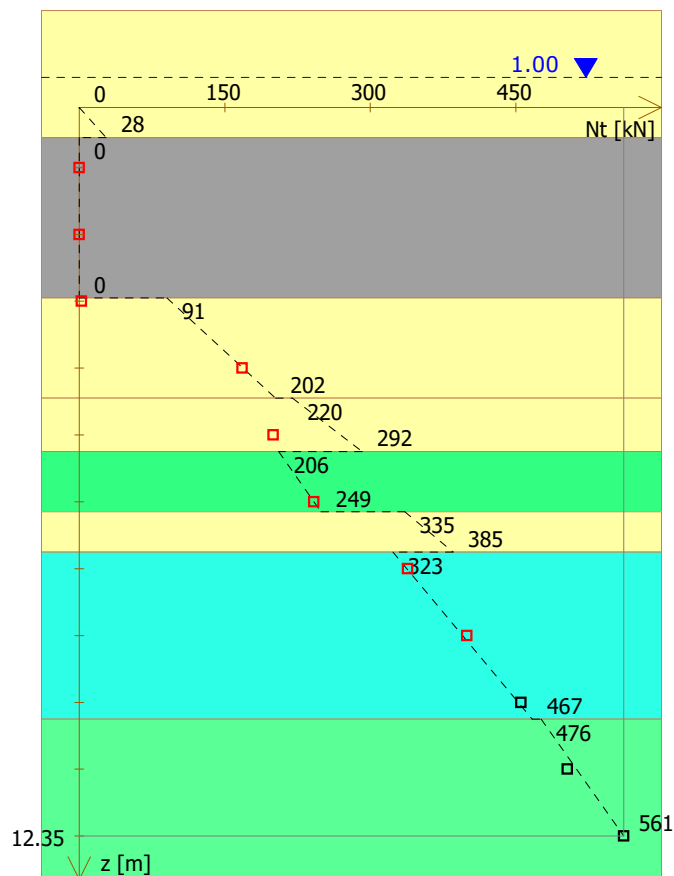
$N_w = 313$ kN

TYTUŁ OBLICZEŃ: 6+535_P13/86,15 _ Rzsf=84,70 - przepust.

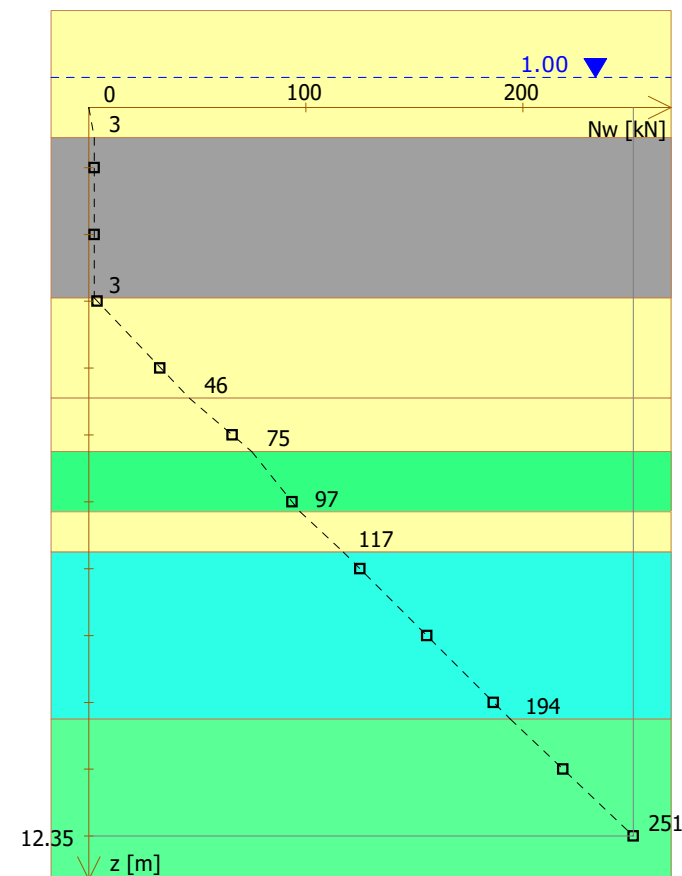
PRZEKRÓJ GEOTECHNICZNY



PRZYROST NOŚNOŚCI NA WCISKANIE Nt



PRZYROST NOŚNOŚCI NA WYCIĄGANIE Nw



$$N_t = m \cdot (N_p + N_s) - T_n$$

$$N_w = m \cdot N_{sw}$$

□ nośność rzeczywista pala - - - przyrost nośności pala

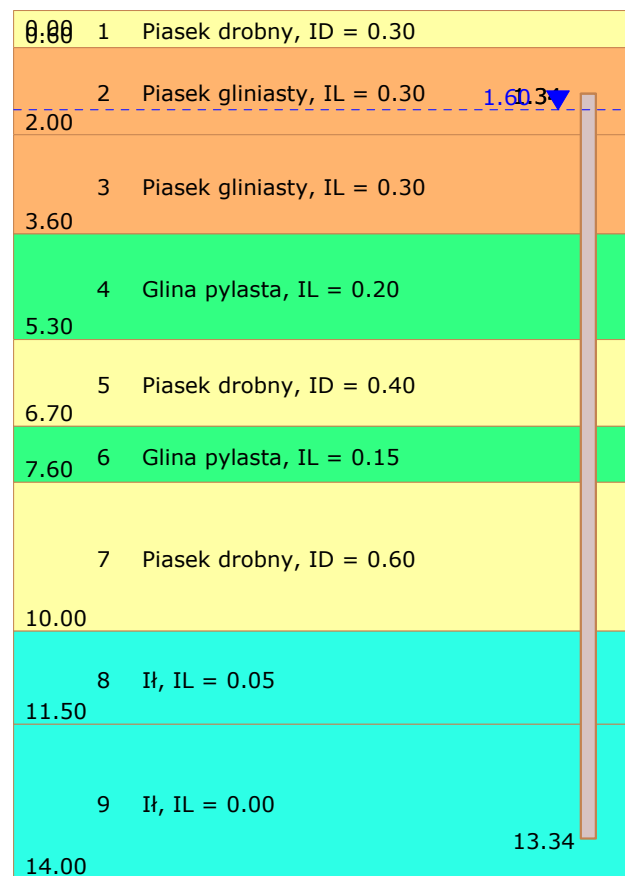
Lc = 12 m Nt = 561 kN
Np = 176 kN Ns = 448 kN Tn = 0 kN

□ nośność rzeczywista pala - - - przyrost nośności pala

Lc = 12 m Nw = 251 kN

TYTUŁ OBLICZEŃ: 6+560_L4/87,56 _ Rzs=86,22.

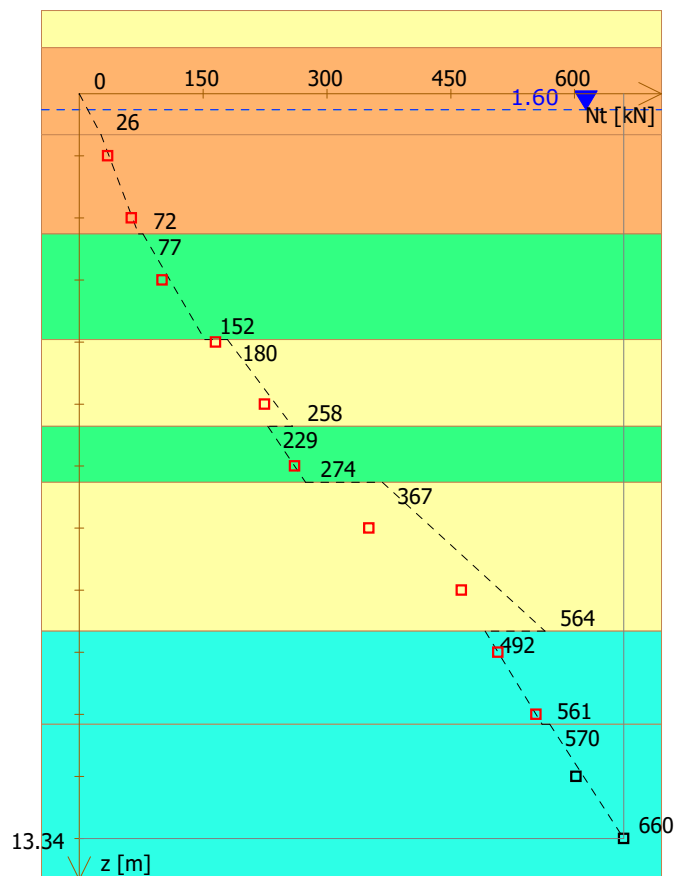
PRZEKRÓJ GEOTECHNICZNY



$$N_t = m \cdot (N_p + N_s) - T_n$$

$$N_w = m \cdot N_{sw}$$

PRZYROST NOŚNOŚCI NA WCISKANIE N_t



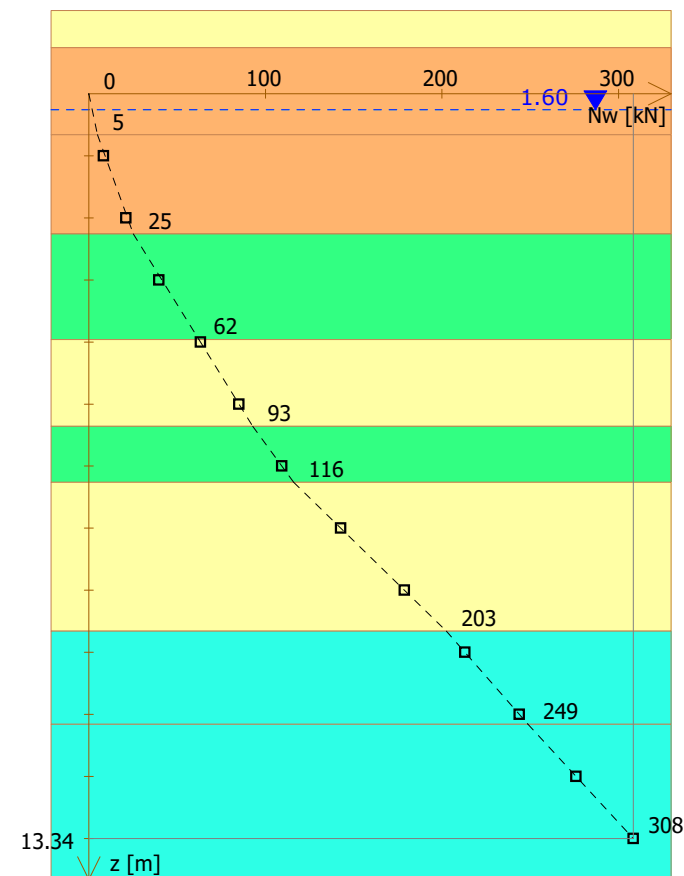
□ nośność rzeczywista pala - - - przyrost nośności pala

$L_c = 12 \text{ m}$
 $N_p = 176 \text{ kN}$

$N_t = 660 \text{ kN}$
 $N_s = 557 \text{ kN}$

$T_n = 0 \text{ kN}$

PRZYROST NOŚNOŚCI NA WYCIĄGANIE N_w



□ nośność rzeczywista pala - - - przyrost nośności pala

$L_c = 12 \text{ m}$

$N_w = 308 \text{ kN}$

TYTUŁ OBLICZEŃ: 6+560_P4/87,35 _ Rzsf=86,32.

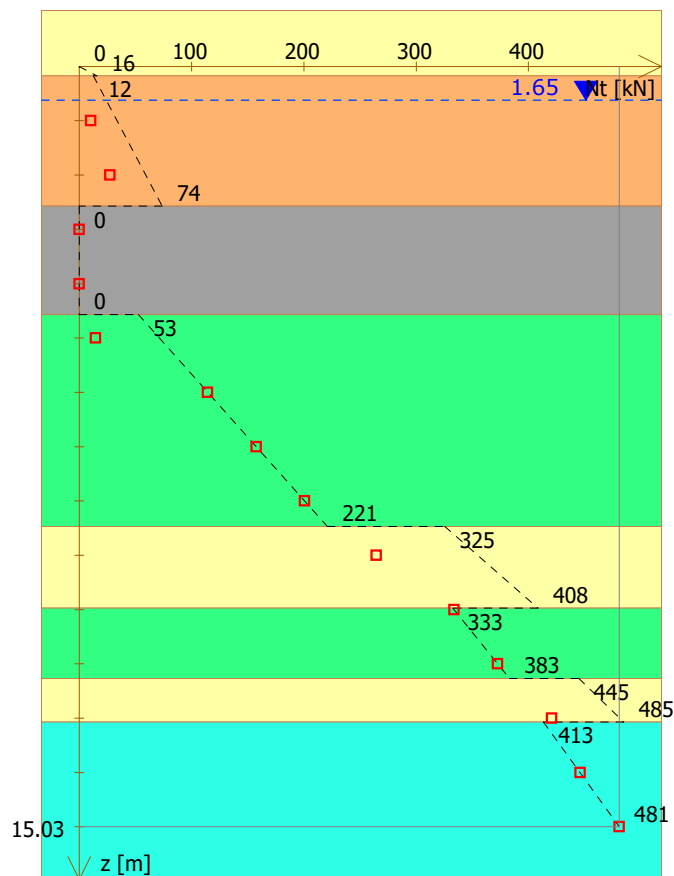
PRZEKRÓJ GEOTECHNICZNY



$$N_t = m \cdot (N_p + N_s) - T_n$$

$$N_w = m \cdot N_{sw}$$

PRZYROST NOŚNOŚCI NA WCISKANIE N_t



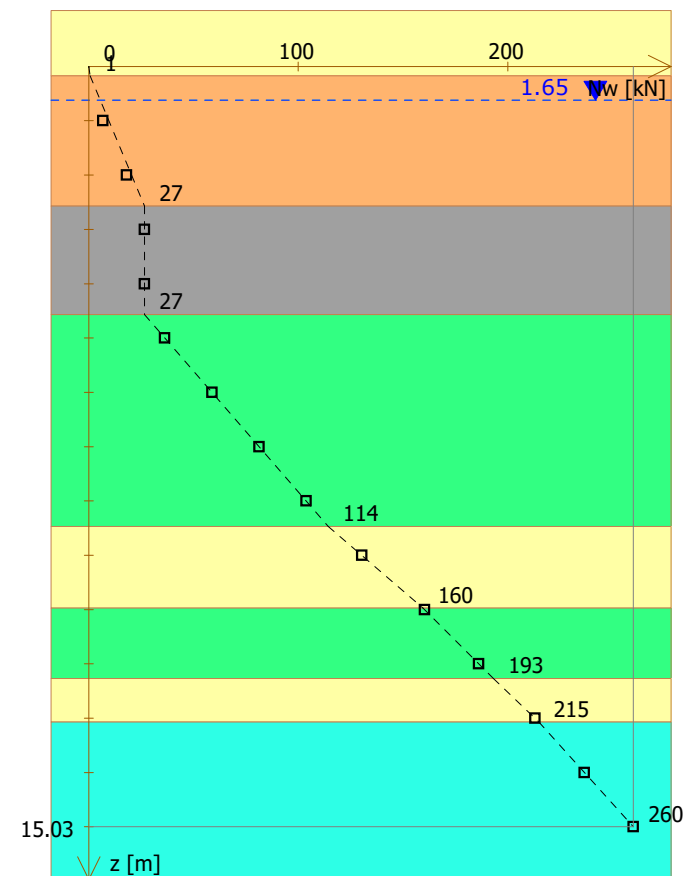
□ nośność rzeczywista pala --- przyrost nośności pala

$L_c = 14$ m
 $N_p = 121$ kN

$N_t = 481$ kN
 $N_s = 414$ kN

$T_n = 0$ kN

PRZYROST NOŚNOŚCI NA WYCIĄGANIE N_w



□ nośność rzeczywista pala --- przyrost nośności pala

$L_c = 14$ m

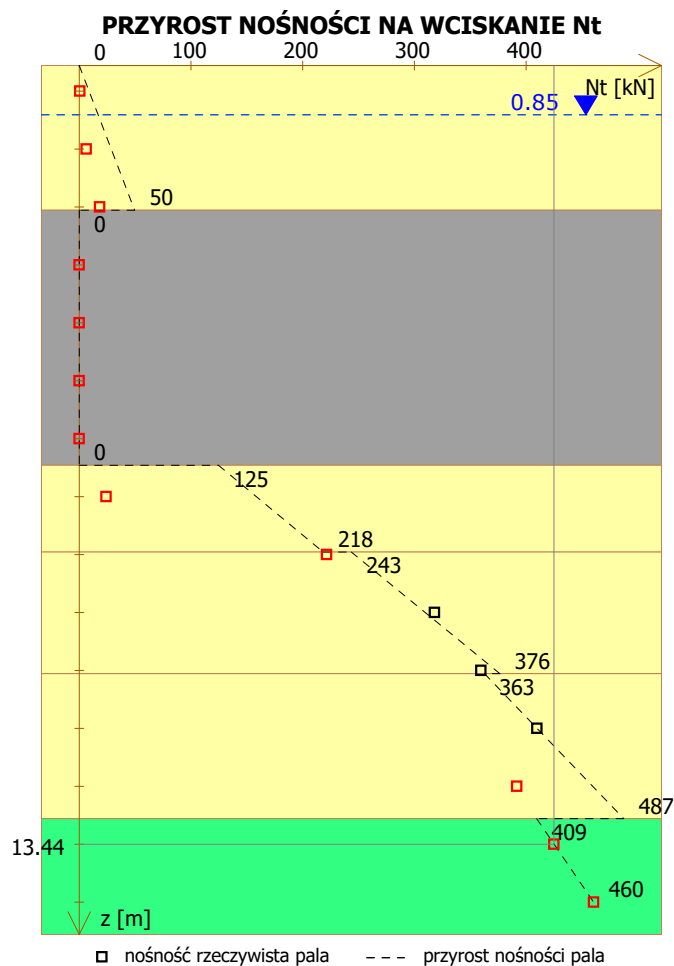
$N_w = 260$ kN

TYTUŁ OBLICZEŃ: 6+560_P13/85,76 _ Rzsf=86,32.



$$N_t = m \cdot (N_p + N_s) - T_n$$

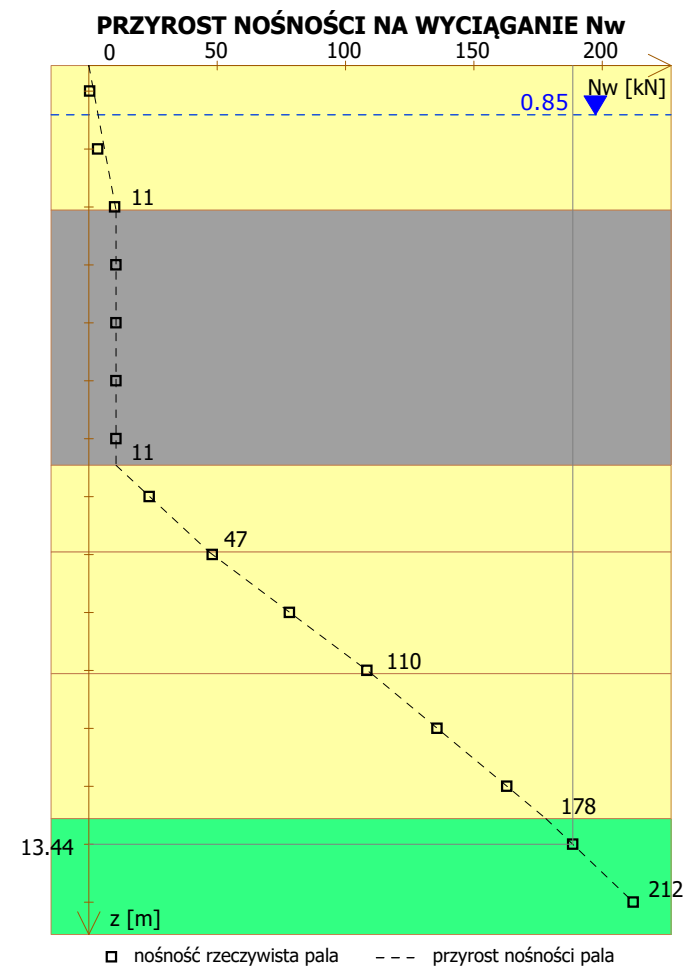
$$N_w = m \cdot N_{sw}$$



$L_c = 14$ m
 $N_p = 113$ kN

$N_t = 425$ kN
 $N_s = 359$ kN

$T_n = 0$ kN



$L_c = 14$ m

$N_w = 188$ kN

TYTUŁ OBLICZEŃ: 6+585_L4/87,55 _ Rzs=86,32.

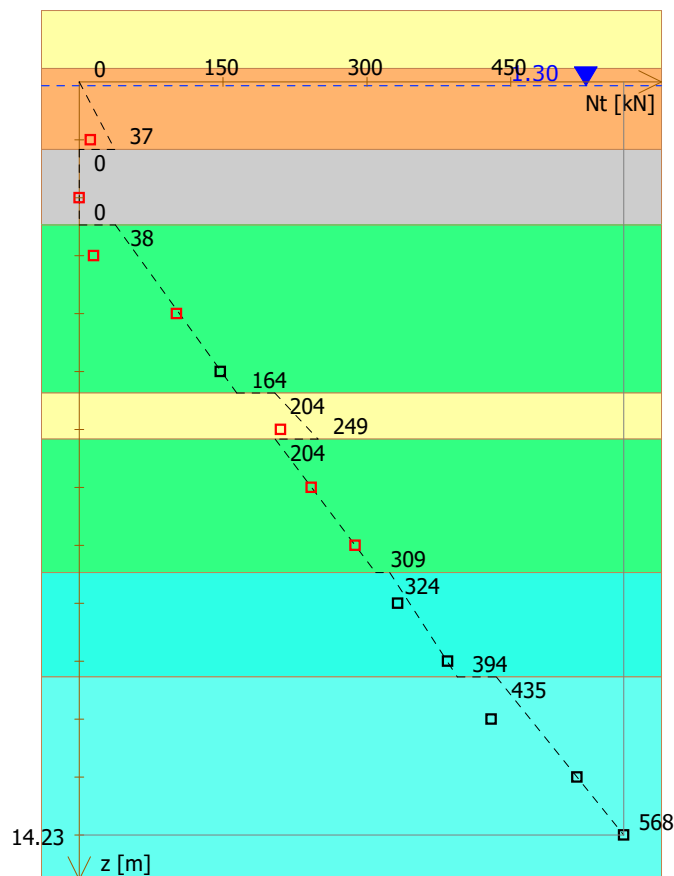
PRZEKRÓJ GEOTECHNICZNY



$$N_t = m \cdot (N_p + N_s) - T_n$$

$$N_w = m \cdot N_{sw}$$

PRZYROST NOŚNOŚCI NA WCISKANIE N_t



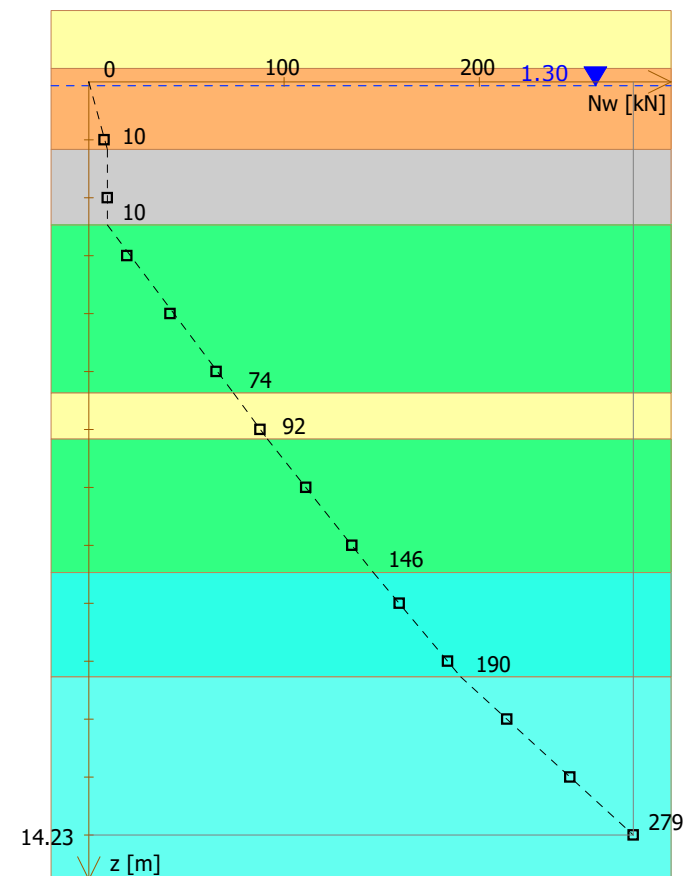
□ nośność rzeczywista pala - - - przyrost nośności pala

$L_c = 13$ m
 $N_p = 176$ kN

$N_t = 568$ kN
 $N_s = 455$ kN

$T_n = 0$ kN

PRZYROST NOŚNOŚCI NA WYCIĄGANIE N_w



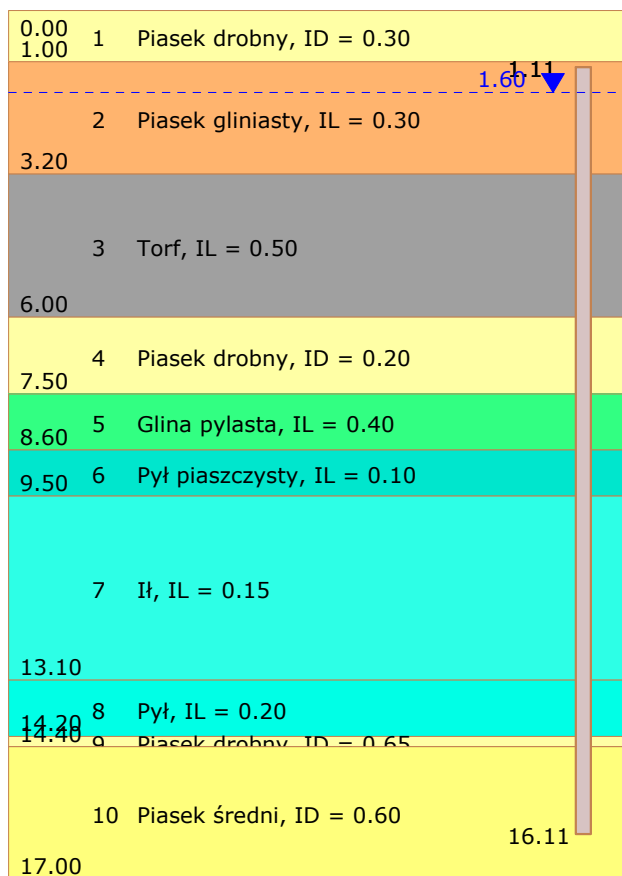
□ nośność rzeczywista pala - - - przyrost nośności pala

$L_c = 13$ m

$N_w = 279$ kN

TYTUŁ OBLICZEŃ: 6+585_P4/87,43 _ Rzsf=86,32.

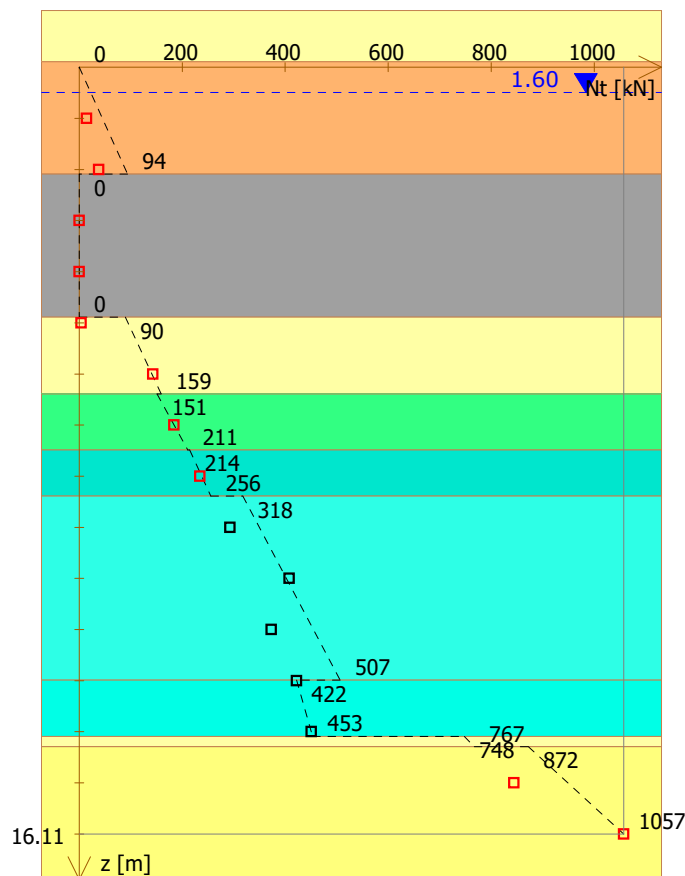
PRZEKRÓJ GEOTECHNICZNY



$$N_t = m \cdot (N_p + N_s) - T_n$$

$$N_w = m \cdot N_{sw}$$

PRZYRÓST NOŚNOŚCI NA WCISKANIE N_t



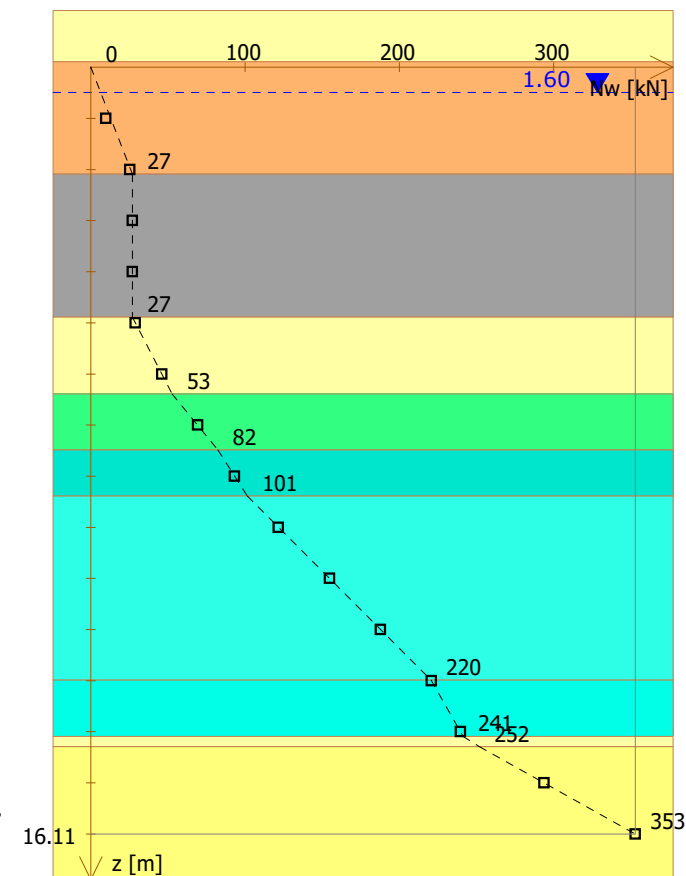
□ nośność rzeczywista pala - - - przyrost nośności pala

$L_c = 15$ m
 $N_p = 581$ kN

$N_t = 1057$ kN
 $N_s = 594$ kN

$T_n = 0$ kN

PRZYRÓST NOŚNOŚCI NA WYCIĄGANIE N_w

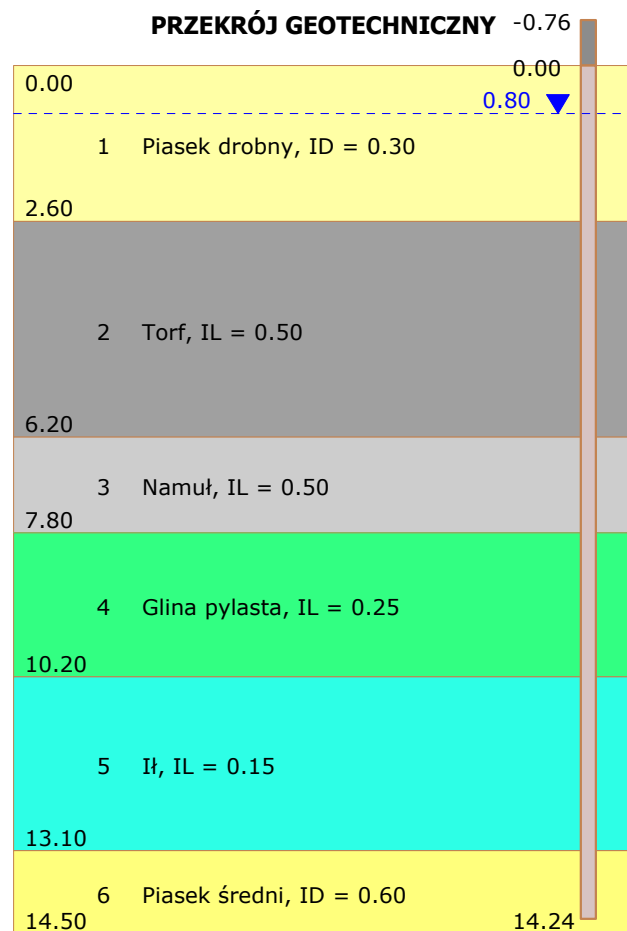


□ nośność rzeczywista pala - - - przyrost nośności pala

$L_c = 15$ m

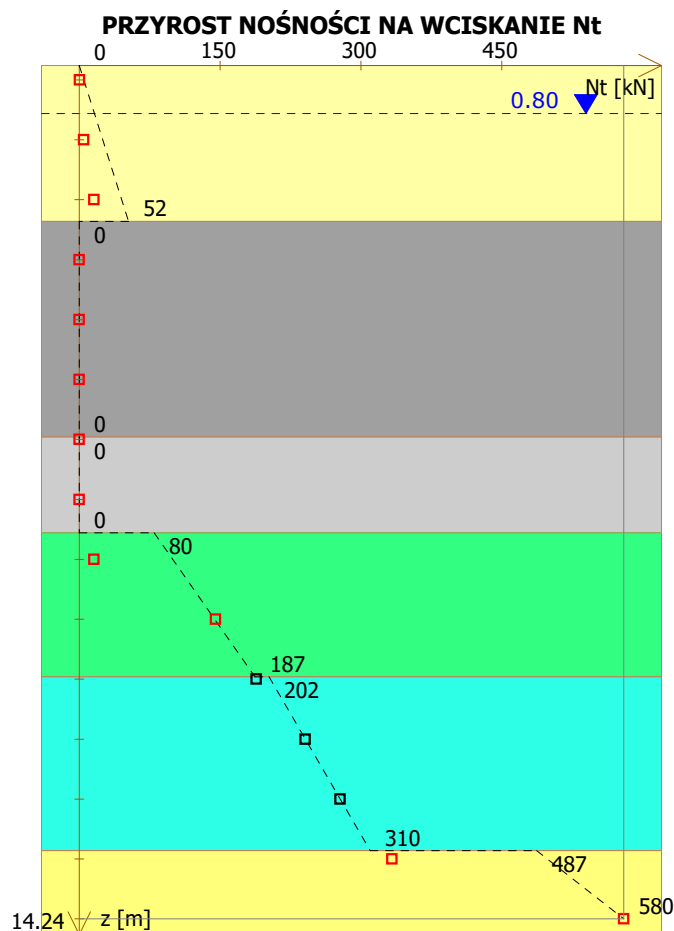
$N_w = 353$ kN

TYTUŁ OBLICZEŃ: 6+585_P12/85,56 _ Rzsf=86,32.



$$N_t = m \cdot (N_p + N_s) - T_n$$

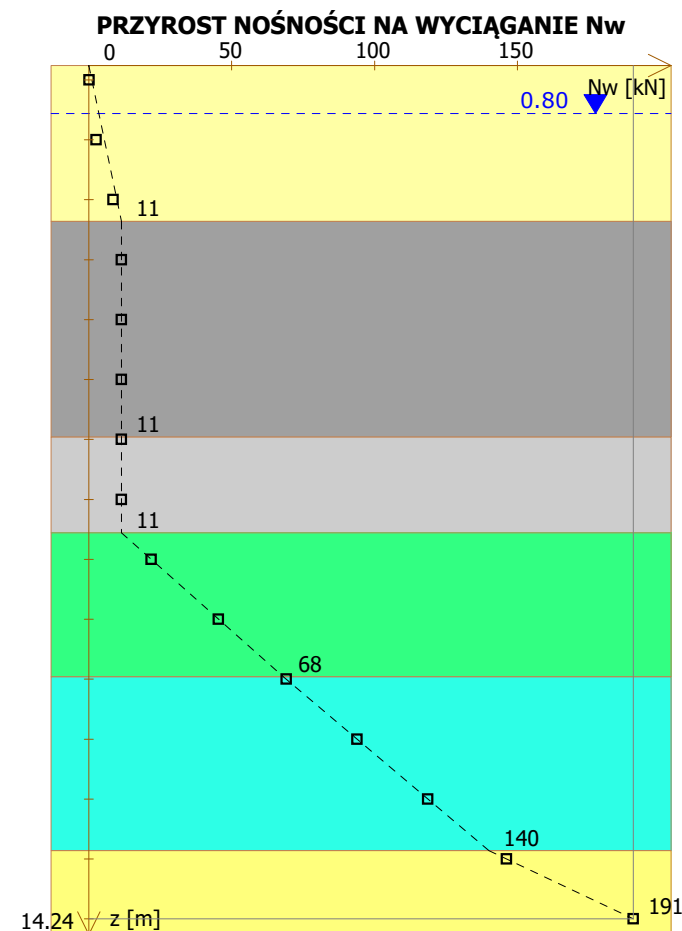
$$N_w = m \cdot N_{sw}$$



$L_c = 15$ m
 $N_p = 327$ kN

$N_t = 580$ kN
 $N_s = 317$ kN

$T_n = 0$ kN



$L_c = 15$ m

$N_w = 191$ kN

TYTUŁ OBLICZEŃ: 6+610_L4/87,90 _ Rzsf=86,32.

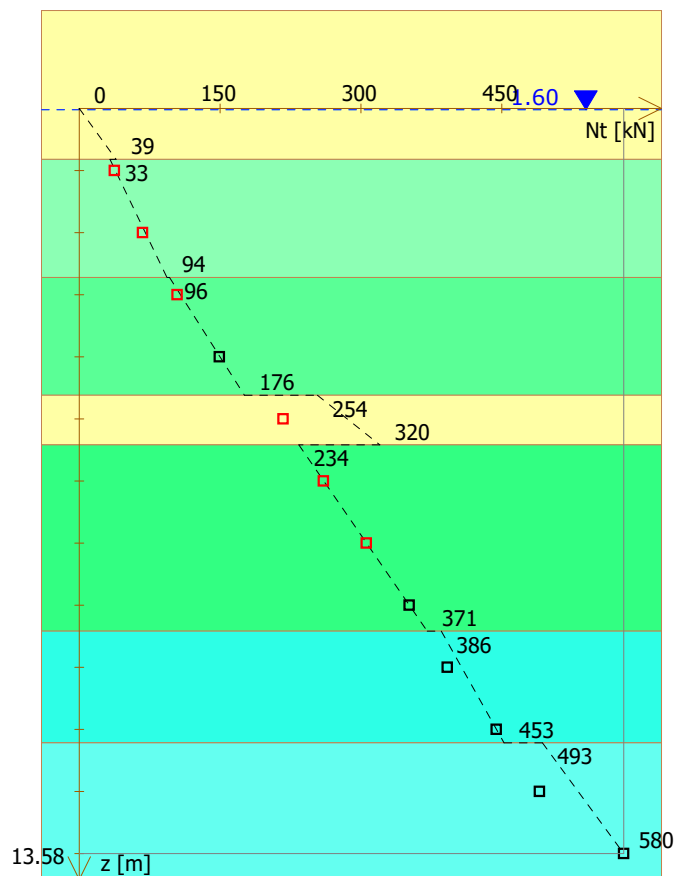
PRZEKRÓJ GEOTECHNICZNY



$$N_t = m \cdot (N_p + N_s) - T_n$$

$$N_w = m \cdot N_{sw}$$

PRZYROST NOŚNOŚCI NA WCISKANIE N_t



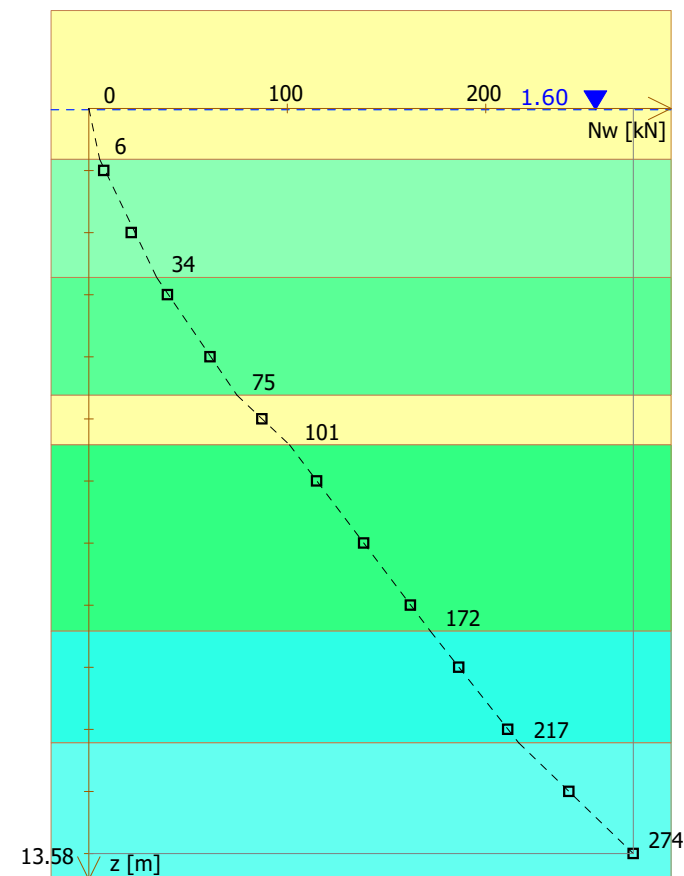
□ nośność rzeczywista pala - - - przyrost nośności pala

$L_c = 12$ m
 $N_p = 176$ kN

$N_t = 580$ kN
 $N_s = 469$ kN

$T_n = 0$ kN

PRZYROST NOŚNOŚCI NA WYCIĄGANIE N_w



□ nośność rzeczywista pala - - - przyrost nośności pala

$L_c = 12$ m

$N_w = 274$ kN

TYTUŁ OBLICZEŃ: 6+610_P4/87,82 _ Rzsf=86,32.

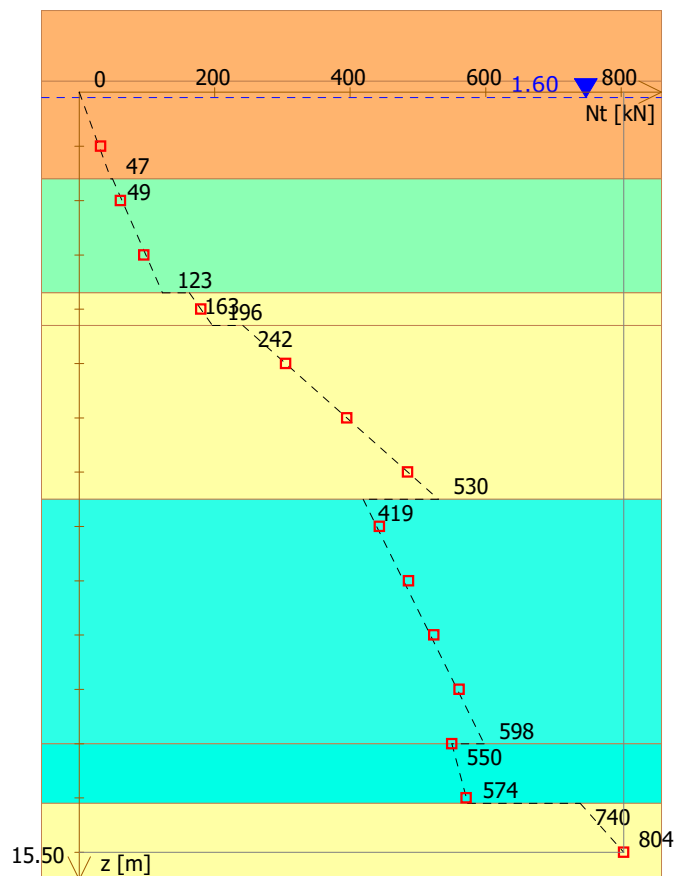
PRZEKRÓJ GEOTECHNICZNY



$$N_t = m \cdot (N_p + N_s) - T_n$$

$$N_w = m \cdot N_{sw}$$

PRZYROST NOŚNOŚCI NA WCISKANIE N_t



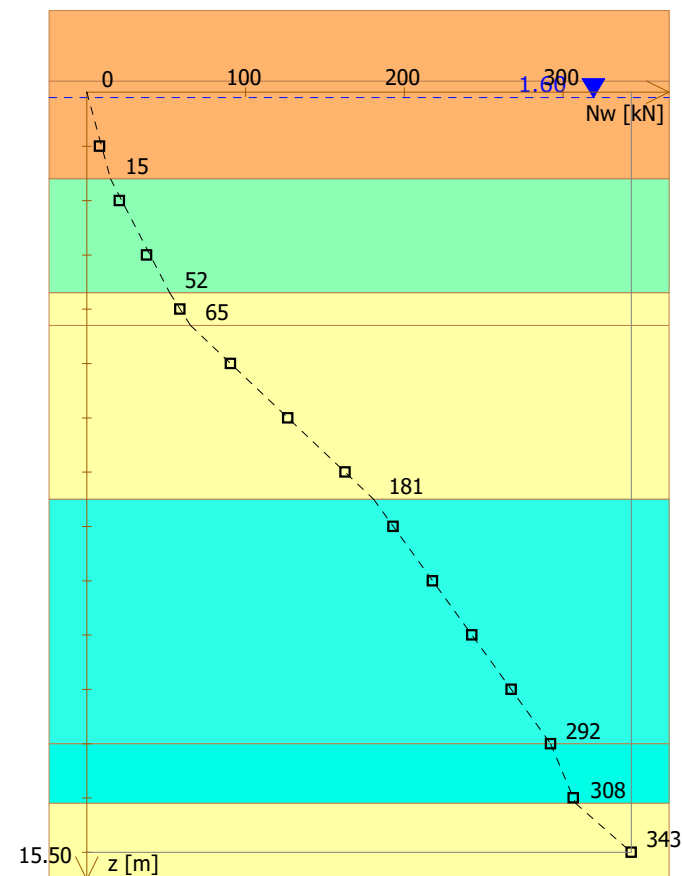
□ nośność rzeczywista pala - - - przyrost nośności pala

$L_c = 14$ m
 $N_p = 261$ kN

$N_t = 804$ kN
 $N_s = 632$ kN

$T_n = 0$ kN

PRZYROST NOŚNOŚCI NA WYCIĄGANIE N_w



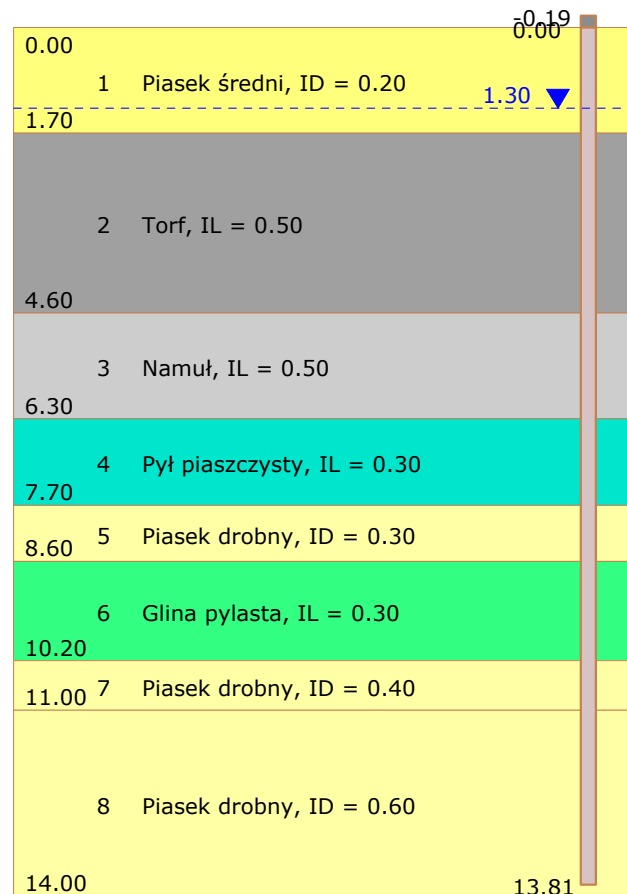
□ nośność rzeczywista pala - - - przyrost nośności pala

$L_c = 14$ m

$N_w = 343$ kN

TYTUŁ OBLICZEŃ: 6+610_P12/86,13 _ Rzsf=86,32.

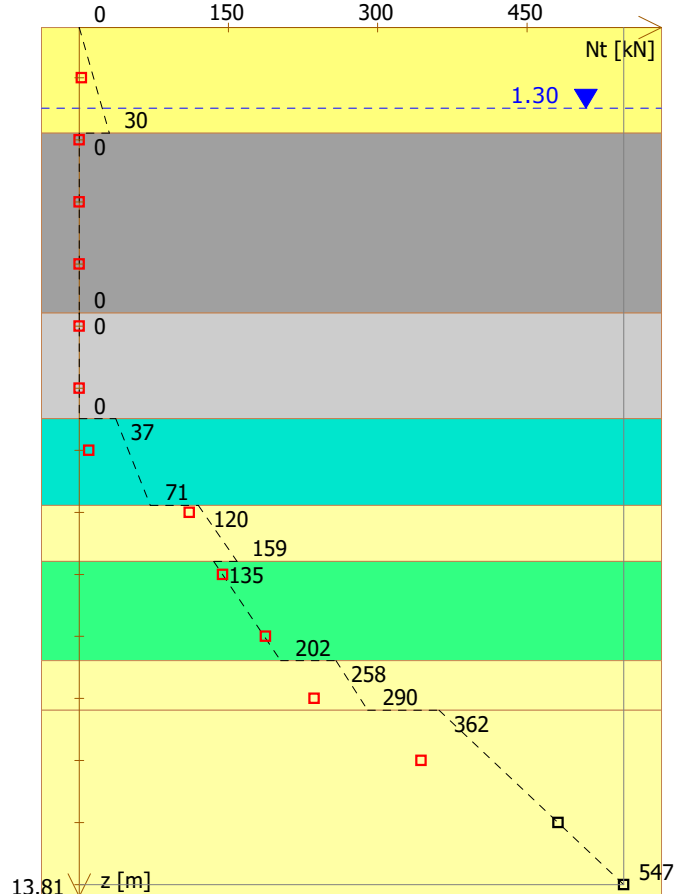
PRZEKRÓJ GEOTECHNICZNY



$$N_t = m \cdot (N_p + N_s) - T_n$$

$$N_w = m \cdot N_{sw}$$

PRZYRÓST NOŚNOŚCI NA WCISKANIE N_t



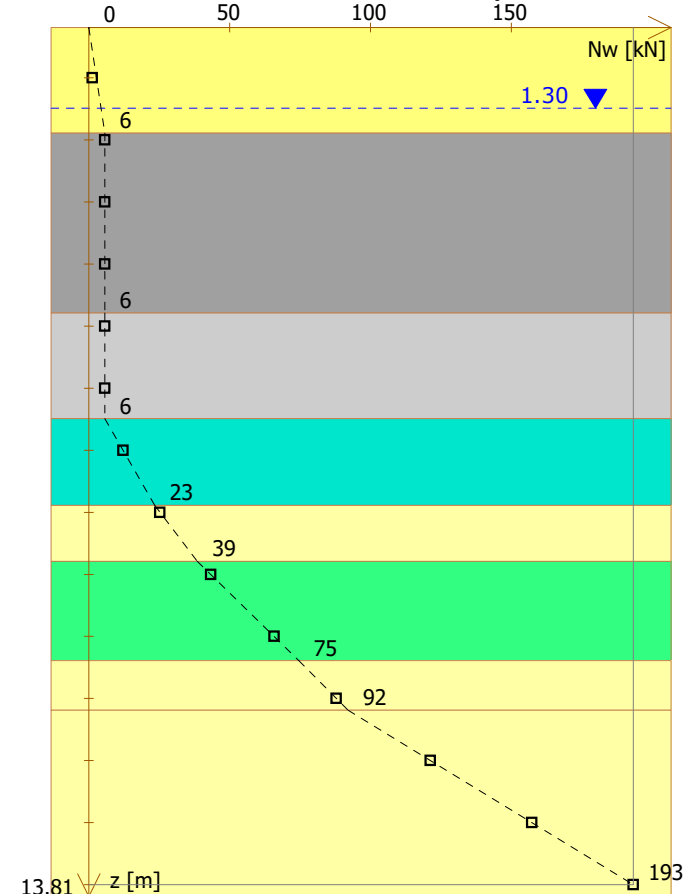
□ nośność rzeczywista pala - - - przyrost nośności pala

$L_c = 14$ m
 $N_p = 246$ kN

$N_t = 547$ kN
 $N_s = 362$ kN

$T_n = 0$ kN

PRZYRÓST NOŚNOŚCI NA WYCIĄGANIE N_w



□ nośność rzeczywista pala - - - przyrost nośności pala

$L_c = 14$ m

$N_w = 193$ kN